

# ТЕЛЕКОММУНИКАЦИИ



УДК 621.372+521.91

## ДИНАМИЧЕСКАЯ ВИЗУАЛИЗАЦИЯ ИНФОРМАЦИОННЫХ ХАРАКТЕРИСТИК ЭЛЕКТРОМАГНИТНОЙ ОБСТАНОВКИ В 4-СПУТНИКОВОЙ СИСТЕМЕ СВЯЗИ

КУРМАНОВ А.С., МАЗМАНИШВИЛИ А.С.,  
СЛИПЧЕНКО Н.И.

Строится программное средство расчета и визуализации региональных карт вероятности ошибок передачи бинарных символов. Приводятся примеры расчета упрощенной системы связи из 4 спутников для двух регионов на широте 0° и 30°.

1. Современное состояние сетей связи ориентировано на информационное обеспечение потребителей в регионе и базируется на использовании спутников-ретрансляторов [1-3]. Возрастание нагрузок на прием и передачу приводит к увеличению и усложнению спутниковых систем связи, что, в свою очередь, вызывает трудности при синтезе оптимальной конфигурации системы. В настоящей работе рассмотрен эффективный метод оценки вероятности ошибки в заданном регионе для выбранной конфигурации системы спутниковой связи (ССС). С помощью разработанного числового метода возможно сопоставлять различные варианты ретрансляции и приема в регионе. Рассмотрение ограничено цифровыми системами связи на геостационарной орбите (ГО), образованными из четырех спутников-ретрансляторов. В результате расчета вероятности ошибки  $P_{eM}$  формируется набор региональных вероятностных карт, анализ которых позволяет делать выводы об электромагнитной обстановке в системе связи.

2. Основная формула расчета вероятности ошибки при передаче одного бинарного символа в точке региона с координатами  $(x, y)$  в условиях множественных помех имеет вид:

$$P_{eM}(x, y) = E[\operatorname{erfc}(\rho(x, y) \sin(\pi/M) + \rho(x, y) Z(x, y))], \quad (1)$$

где  $E[\cdot]$  – символ безусловного математического ожидания;  $\operatorname{erfc}(x)$  – дополнительная функция ошибок;  $\rho(x, y) = P_s / P_n$  – величина отношения сигнала/шума по мощности в точке приема;  $P_s$  – мощность сигнала на входе приемника;  $P_n$  – полная мощность

шума на входе приемника;  $M$  – число положений фаз при фазовой манипуляции;  $Z$  – случайная величина, описывающая влияние помехи. Для помехи, связанной с соседними спутниками, эта случайная величина  $Z$  следующая (далее указания на координаты  $(x, y)$  опущены):

$$Z = \sum_{j \in C}^K R_j \cos(\varphi_j). \quad (2)$$

При этом каждая из величин  $\varphi_j$  случайна и равномерно распределена на интервале  $(0, 2\pi)$ ,  $K$  – число мешающих космических станций (КС), а набор амплитуд  $\{R_j\}$  вычисляется по следующему выражению:

$$R_j = \sqrt{\frac{[G_{es}(\theta_j) G_{ss}(\beta_j) P_j]}{[G_{es,max}(\theta_j) G_{ss,max}(\beta_j) P_0]}}. \quad (3)$$

Здесь  $G_{es,max} = \eta(\pi D/\lambda)^2$  – коэффициент усиления мощности антенны земной станции (ЗС);  $\eta$  – коэффициент использования поверхности антенны ЗС;  $D/\lambda$  – отношение апертуры к длине волны ЗС;  $\theta_j$  – топоцентрический угол разноса между “полезным” и  $j$ -м “мешающим” спутником на ГО;  $G_{es}(\theta_j)$  – соответствующий коэффициент усиления мощности антенны ЗС в направлении на  $j$ -й источник мешающего сигнала при угловом смещении  $\theta_j$ ;  $G_{ss,max} = 44,44 - 20 \lg \gamma$  – максимальное усиление антенны КС в основном лепестке, dB;  $\gamma$  – угловой размер сечения луча антенны КС;  $G_{ss}(\beta_j)$  – соответствующий коэффициент усиления мощности  $j$ -й “мешающей” КС в направлении на ЗС под углом  $\beta_j$  от направления максимального излучения (точки прицеливания);  $P_0$  – мощность бортового передатчика “полезной” КС;  $P_j$  – мощность бортового передатчика  $j$ -й “мешающей” КС.

Соотношения (2) и (3) дают возможность полностью математически поставить задачу нахождения вероятности ошибки  $P_{eM}$  (1).

3. Искомая величина  $P_{eM}$  (1) является безусловным математическим ожиданием относительно всех возможных реализаций случайной величины  $Z$  (2). В работе был использован метод статистических испытаний, который часто применяется при моделировании случайных явлений (см., например, [4,5]).

При расчете вероятности ошибки величина  $P_{eM}(x, y)$  находилась путем вычисления оценки  $P_{eM}$  относительно реализаций случайной величины  $P_{eM}$  заданного выборочного объема  $N$ . Объем

выборки для любых координат  $(x, y)$  и любого значения  $\rho$  подбирался таким образом, чтобы относительная погрешность оценки  $P_{eM}$  не превосходила заданной величины  $\alpha$ , которая в этой работе составляет 5%.

Здесь рассмотрено случайное событие, заключающееся в том, что относительная погрешность оценки величины  $P_{eM}$  не превышает  $\alpha$ , и получена следующая зависимость объема выборки  $N$  от физических параметров задачи:

$$N \approx 2\rho^2\Omega_C (\sin(\pi/M) + \Omega_C)(\gamma/\alpha)^2. \quad (4)$$

В этом выражении  $\Omega_C = \sum_{j \in C} R_j$ ;  $q$  - вероятность указанного события;  $\gamma = \Phi^{-1}(q)$ ;  $\Phi(q)$  - функция Лапласа.

На базе статистического алгоритма расчета вероятности ошибки  $P_{eM}(x, y)$  и распространения его на набор пространственных узлов  $\{(x, y)\}$  были разработаны числовой алгоритм и программное обеспечение для расчета и визуализации информационных карт вероятности ошибок при выбранной конфигурации системы связи в заданном регионе (Украина, Россия, Западная Европа и др.).

4. Перейдем к численным результатам. На рис. 1,2 приведены две группы (из трёх информационных вероятностных карт для  $P_{eM}(x, y)$  каждая), отвечающие географическим регионам, которые имеют размеры в градусах  $(-5.0^\circ; 5.0^\circ)$  по долготе и  $(-5.0^\circ; 5.0^\circ)$  по широте. На рис. 1 четыре спутника расположены на ГО  $(3.0^\circ\text{з.д.}, 1.0^\circ\text{з.д.}, 3.0^\circ\text{в.д.} \text{ и } 1.0^\circ\text{в.д.}$  соответственно). Первые три из них нацелены в точки  $(2.5^\circ\text{ю.ш.}, 3.0^\circ\text{з.д.})$ ,  $(2.5^\circ\text{с.ш.}, 0.0^\circ\text{в.д.})$  и  $(2.5^\circ\text{ю.ш.}, 3.0^\circ\text{в.д.})$ . Угол раскрыва индикаторов антенн этих передатчиков составляет  $0.7^\circ$ . Четвёртый спутник отсутствует на первой карте (рис. 1, а), а при расчете второй и третьей карт (рис. 1, б, в) имеет координаты нацеливания  $(1.5^\circ\text{ю.ш.}, 0.0^\circ\text{в.д.})$ , при этом угол раскрыва индикаторы антенны его передатчика увеличивается от  $0.3^\circ$  до  $0.5^\circ$ . Из рис. 1 можно сделать вывод, что помеховая обстановка существенно определяется пространственной конфигурацией системы приема/передачи. Особо отчетливо это проявляется во влиянии периферийных передатчиков на внутренний (четвертый), который, в свою очередь, искажает их информационные зоны.

На рис. 2 показана та же система связи с теми же характеристиками, как и выше, но как целое смешенна на  $30.0^\circ$  на север. Хотя на такой широте триангуляционные искажения не столь значительны, как на более высоких широтах, вид информационных карт  $P_{eM}(x, y)$  заметно изменился, что связано с увеличением проекций зон облучения в широтном направлении. Видно, что во-первых, увеличены пограничные слои помехового взаимовлияния, во-вторых, это влияние более выражено у спутников с одинаковой долготой. С ростом широты это влияние

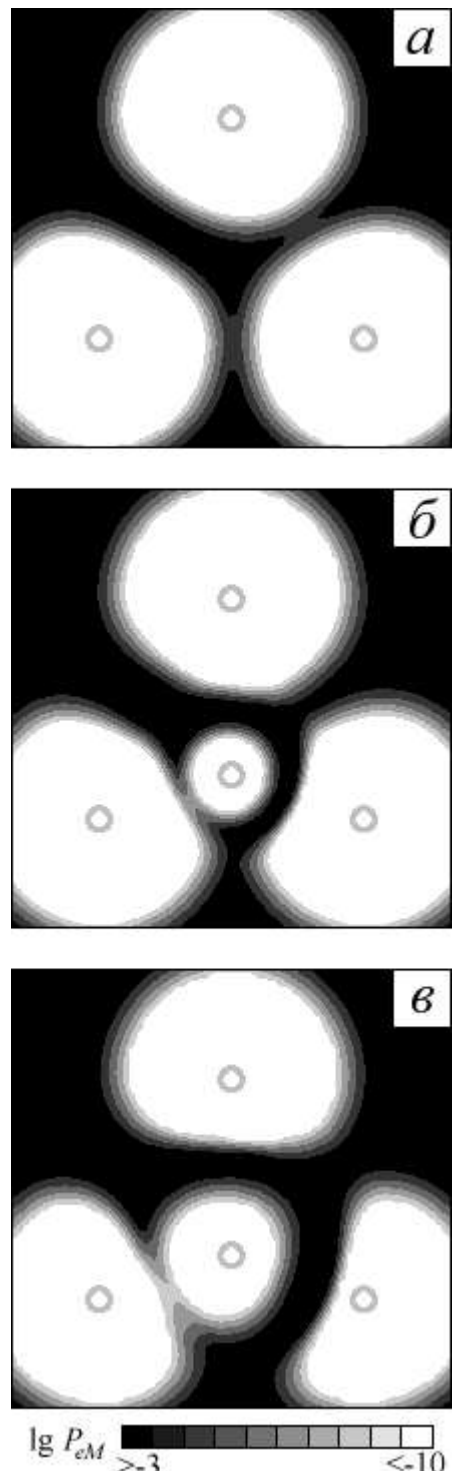


Рис. 1. Информационные карты вероятности ошибки  $P_{eM}(x, y)$  для 4-спутниковой ССС, широта региона –  $0^\circ$

ещё более усиливается. На основании приведенных рисунков можно сделать вывод о том, что помеховая обстановка существенно меняется при введении в регион дополнительного спутника-ретранслятора, тем более расположенного между имеющимися.

При моделировании были использованы данные, наиболее характерные для эксплуатируемых в настоящее время систем. Приведем основные характеристики рассматриваемой системы:

- тип модуляции – фазовая с  $M=2$ ;

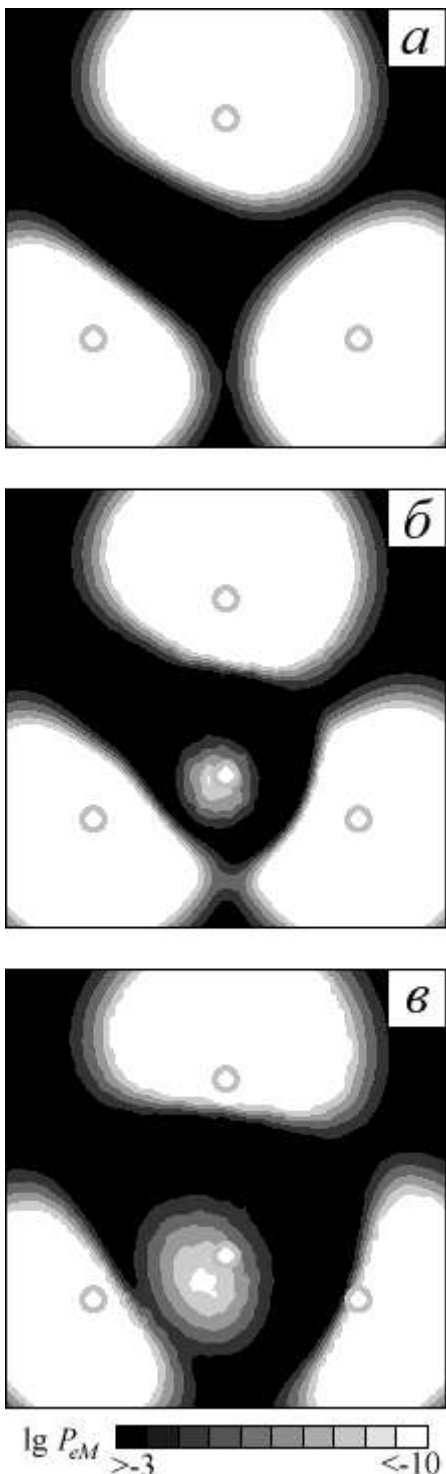


Рис.2. Информационные карты вероятности ошибки  $P_{eM}(x, y)$  для 4-спутниковой ССС, широта региона – 30°

- коэффициент использования поверхности антенны ЗС  $\eta = 0,5$ ;
- отношение апертуры к длине волны ЗС  $D / \lambda = 100$ ;
- полная мощность шума на входе приемника  $P_n = 40$  dBW;
- угловой размер сечения луча антенн КС  $\gamma = 1^\circ$ ;
- мощность бортовых передатчиков КС  $P = 100$  W.

Как видно из рис. 1, 2, имеется возможность надежного информационного обеспечения при передаче со спутников на ГО, что и делается на практике. Важным оказывается то обстоятельство, что между зонами уверенного приема располагаются промежуточные зоны, прием в которых всегда заведомо хуже вследствие взаимовлияния передатчиков. Уменьшить эти зоны информационной недостаточности при одночастотном режиме передачи возможно лишь путем улучшения угловой избирательности приемника, что, однако, сопряжено с техническими затруднениями [2].

Полученные численные характеристики вероятности ошибки позволяют оценить степень помехозащищенности системы при передаче и приеме сигналов потребителями в регионе. На основе таких характеристик можно решать задачу синтеза оптимальной конфигурации системы спутниковой связи.

**Литература:** 1. Калашников Н.И. Основы расчета электромагнитной совместимости систем связи через ИСЗ. М.: Связь, 1970. 204 с. 2. Кантор Л.Я., Тимофеев В.В. Спутниковая связь и проблема геостационарной орбиты. М.: Радио и связь, 1988. С. 29-37. 3. Jeruchim M.C. A survey of interference problems and applications to geostationary satel-lite networks// Proc. IEEE, 1977, 65, №3. Р.317-331. 4. Мазманишвили А.С., Рафалович О.Я. Численные модели помехоустойчивости для украинских региональных сетей спутниковой связи// Космическая наука и технология. 1998, 4. №1, С.92-101. 5. Бусленко Н.П., Шрейдер Ю.А. Метод статистических испытаний. М.: ФМГ, 1961. 312 с.

Поступила в редакцию 03.12.1998

Рецензент: д-р техн. наук Поповский В.В.

**Курманов Алексей Сергеевич**, аспирант кафедры САУ ХГПУ. Научные интересы: теория связи, прикладная математика. Адрес: Украина, 310002, Харьков, ул. Фрунзе, 21, тел. 40-00-56.

**Мазманишвили Александр Сергеевич**, д-р физ.-мат. наук, профессор кафедры САУ ХГПУ. Научные интересы: теория цифровой связи, статистическая радиофизика, прикладная математика. Адрес: Украина, 310002, Харьков, ул. Фрунзе, 21, тел. 40-00-56, e-mail: mazmani@kpi.kharkov.ua.

**Слипченко Николай Иванович**, доцент кафедры МЭПУ ХТУРЭ. Научные интересы: разработка теории многофункциональных частотных элементов, спутниковых комплексов и систем. Адрес: Украина, 310726, Харьков, пр. Ленина, 14, тел. 47-01-07.